

# 1. Magnetismus

Was man längst wissen sollte ...

Maßeinheiten, Diamagnet, Paramagnet,  
Suszeptibilität, Magnetisierung,  
Spin-Bahn Wechselwirkung, Hund'sche Regeln,

Südweiser (?), Kompass

Maschinen (Motoren, Generatoren, Kühlschränke, Lautsprecher)

Datenspeicher (Ringkern, Winchester, GMR)

verwickelt: lokal – delokal, mikro – atomar, x



# 1.1

## Geschichtlicher Überblick



Thales von Milet, 624 – 546 v. Chr.

(Vorsokratiker)

"Alles ist voll von Göttern."

Magnetstein besitzt eine Seele,  
weil er das Eisen bewegt.



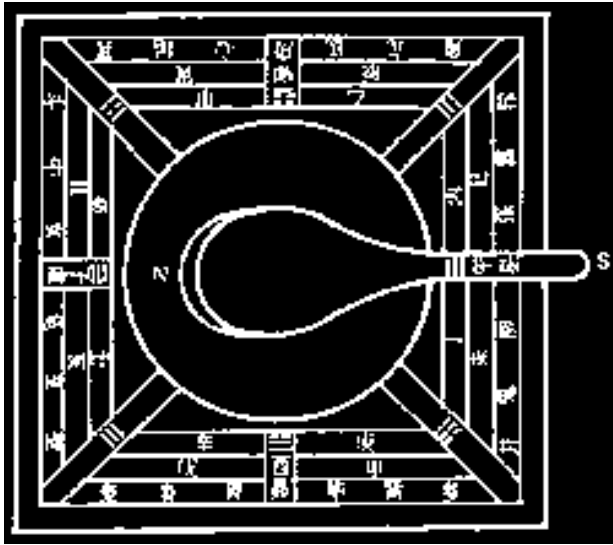
Magnetstein = Magnetit =  $\text{Fe}_3\text{O}_4$

$T_N = 871 \text{ K}$  Remanenz  $\leq 500 \text{ nT}$

Hanfuzius (280 – 233 v. Chr.)

baut den Si Nan

Einsatz als Kompass: ca. 1100



William Gilbert (1544 – 1603)

Widerlegt Behauptung, Knoblauch entmagnetisiere  
1600: *De Magnete, Magnetisque Corporibus, et de  
Magno Tellure*

Erdmagnetismus hängt mit Erddrehung zusammen

Ende des 19. und Anfang des 20. Jahrhunderts:

## Mikroskopische Modelle des Magnetismus

- Elektrodynamik (Maxwell)
- Statistische Thermodynamik (Boltzmann)

Beispiel: Curie-Gesetz

$$X_{\text{para}} \propto T^{-1}$$

Experiment: P. Curie, Ann. Chim. Phys. **5**, 289 (1895)

Theorie: P. Langevin, J. Phys. **4**, 678 (1905)

- Klassische Physik erklärt Magnetismus nicht  
J. H. van Leeuwen, J. Phys. **2**, 361 (1921)
- Mikroskopische Theorie des Ferromagnetismus  
P. Weiss, J. Phys. **6**, 661 (1907)
- Neue Quantenzahl ("Spin") für das Elektron nötig  
E. Landé, Z. Phys. **15**, 189 (1923)  
G. E. Uhlenbeck, S. Goudsmit, Nature **117**, 264 (1926)
- Heisenberg-Modell für FM und AFM  
W. Heisenberg, Z. Phys. **38**, 441 (1926)
- W. Heitler, F. London, Z. Phys. **44**, 455 (1927)  
H<sub>2</sub> – Molekül: Singulett- und Triplett-Zustand
- Itineranter Elektronenmagnetismus  
E. C. Stoner, Proc. Roy. Soc. A **154**, 656 (1936); A **165**, 372 (1938)
- Theorie des Antiferromagnetismus  
L. Néel, Ann. Phys. **3**, 137 (1948)

Heute:

z. B. Dichte-Funktionaltheorie

P. Hohenberg, W. Kohn, Phys. Rev. **136**, 864 (1964)

Magnetismus von stark korrelierten Systemen  
(z.B. Hochtemperatursupraleiter) ist bislang nicht  
voll verstanden.

# 1.2 Magnetische Speichertechnologie

Datenspeicher (traditionell)



## Magnetic Recording: The First 100 Years

eds. Daniel, Mee & Clark, 1999, IEEE Press

1898 Valdemar Poulsen: Telephonograph, phone answering machine

1935 AEG Magnetophon: audio recording device

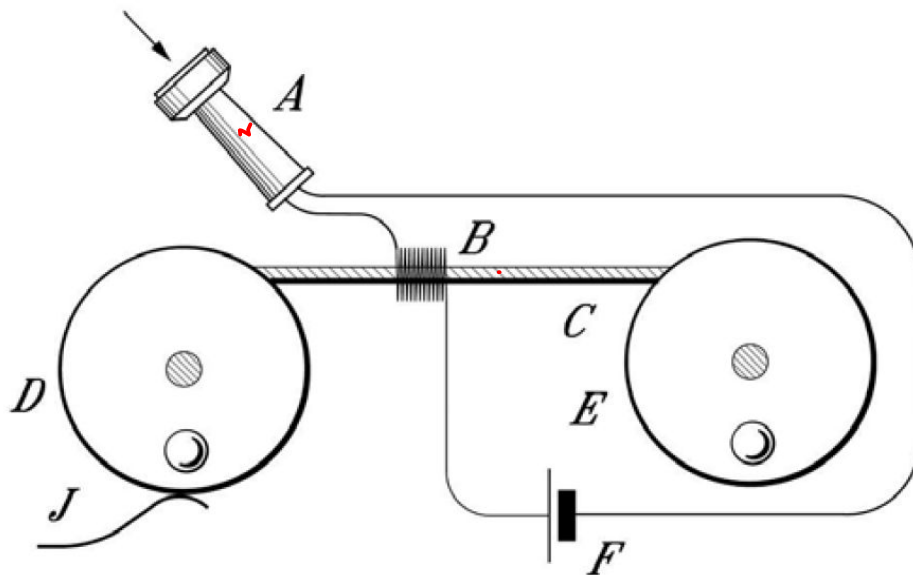
1956 IBM RAMAC: 5 MB, sized 2 large refrigerators, \$10.000 per MB

1963 Philips compact audio cassette

1971 IBM floppy disk drive

1975 Sony Betamax: home video system

1997 IBM GMR heads



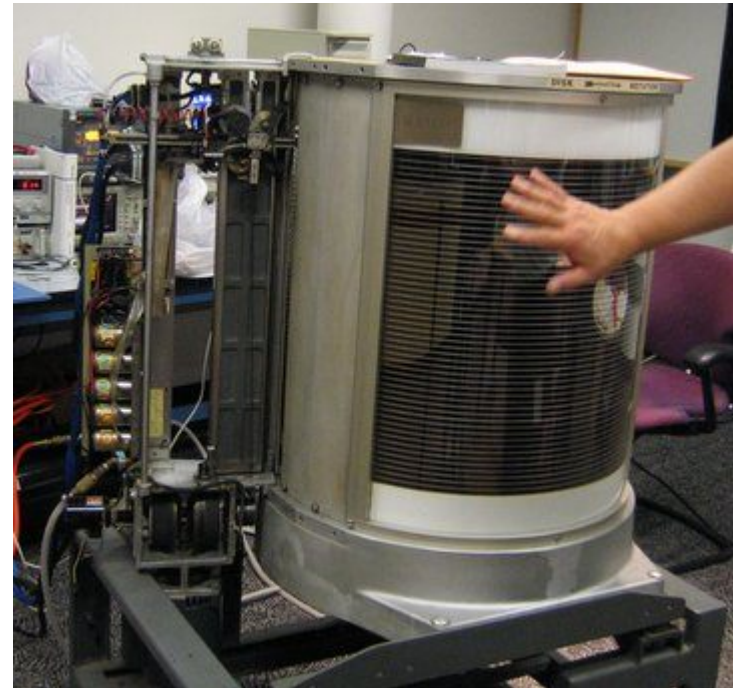
1878 Magnetic sound  
recording by Oberlin Smith



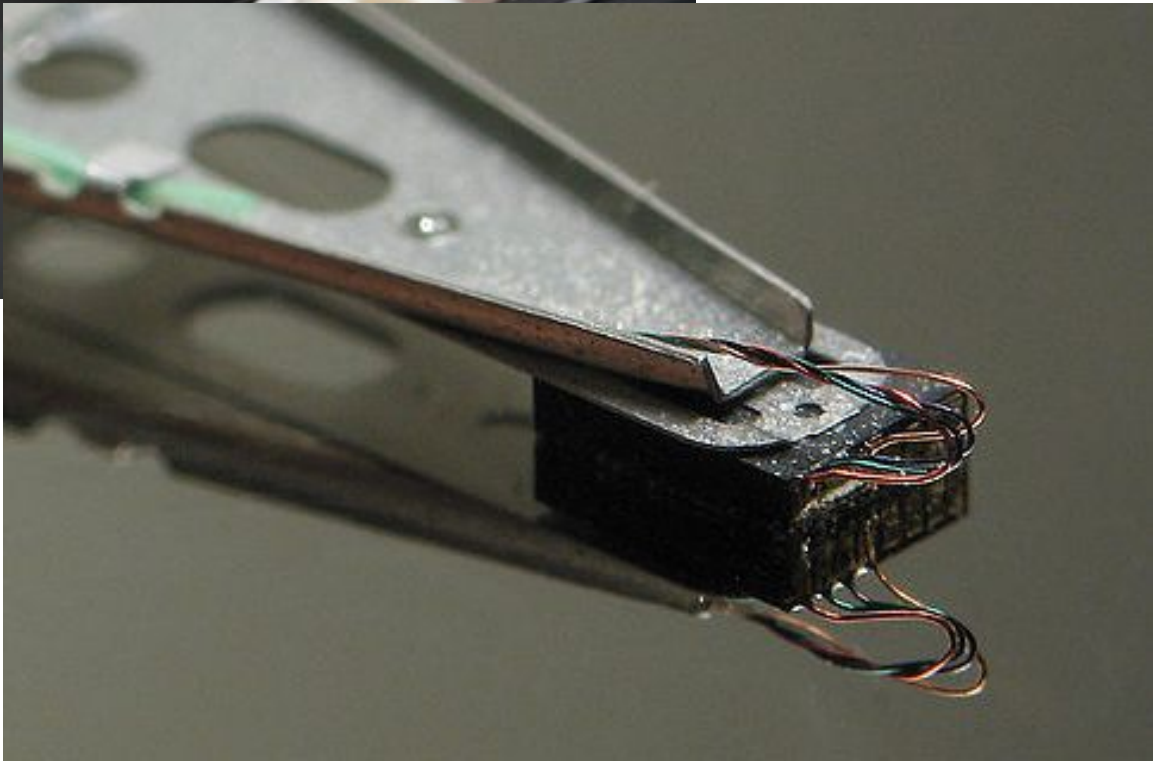
# IBM 305 RAMAC (1956)

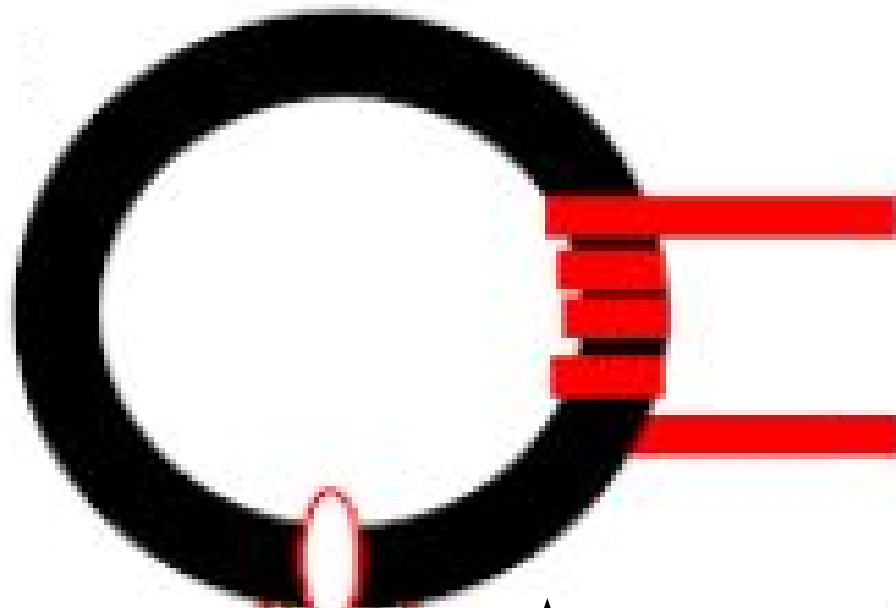


A storage plate  
Covered with iron oxide

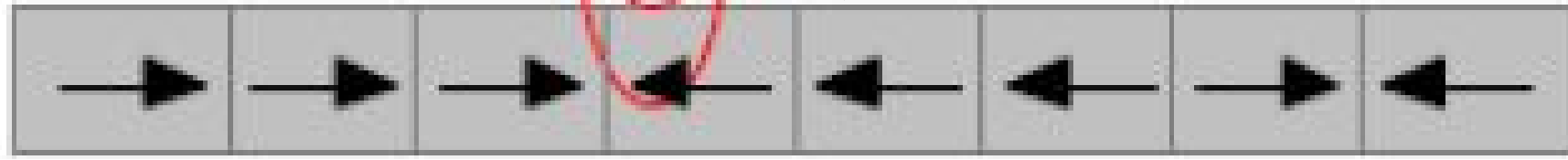


$1.5 \times 1.7 \times 0.6 \text{ m}^3$   
1 t  
5 Mbyte (8 bit per byte)  
1200 rpm





some tens of nm



10 - 20 nm  
CoCrPt

10 nm

single domain magnets  
coercivity: 0.3 T

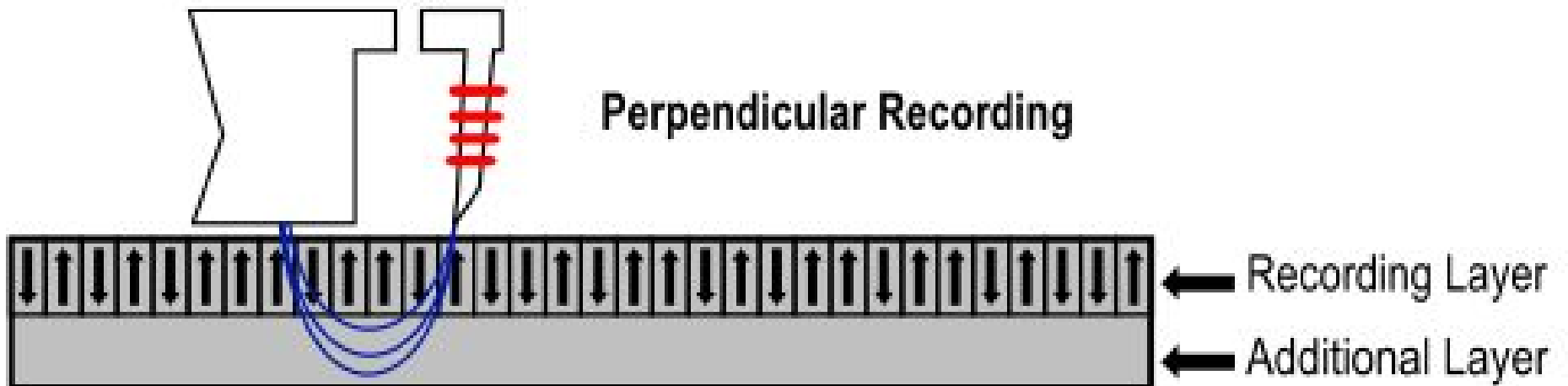
"Ring" writing element

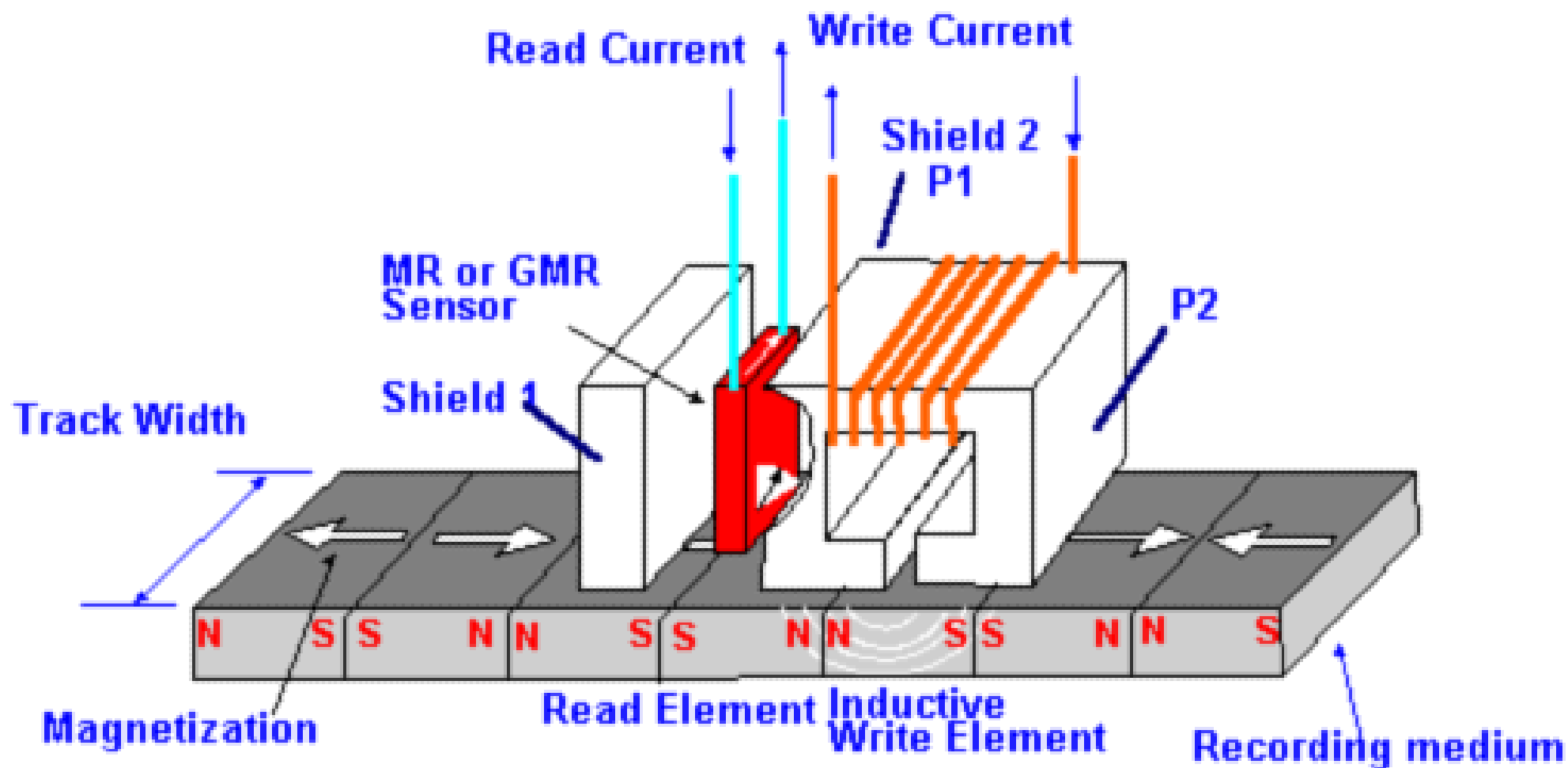
100 – 200 Gbit / in<sup>2</sup>



≈ 1 Tbit / in<sup>2</sup>

"Monopole" writing element





Hard disk: data in magnetization of patches of a disk surface

maximum areal density determined by ...

size of magnetic particles (T matters)

size of read/write head

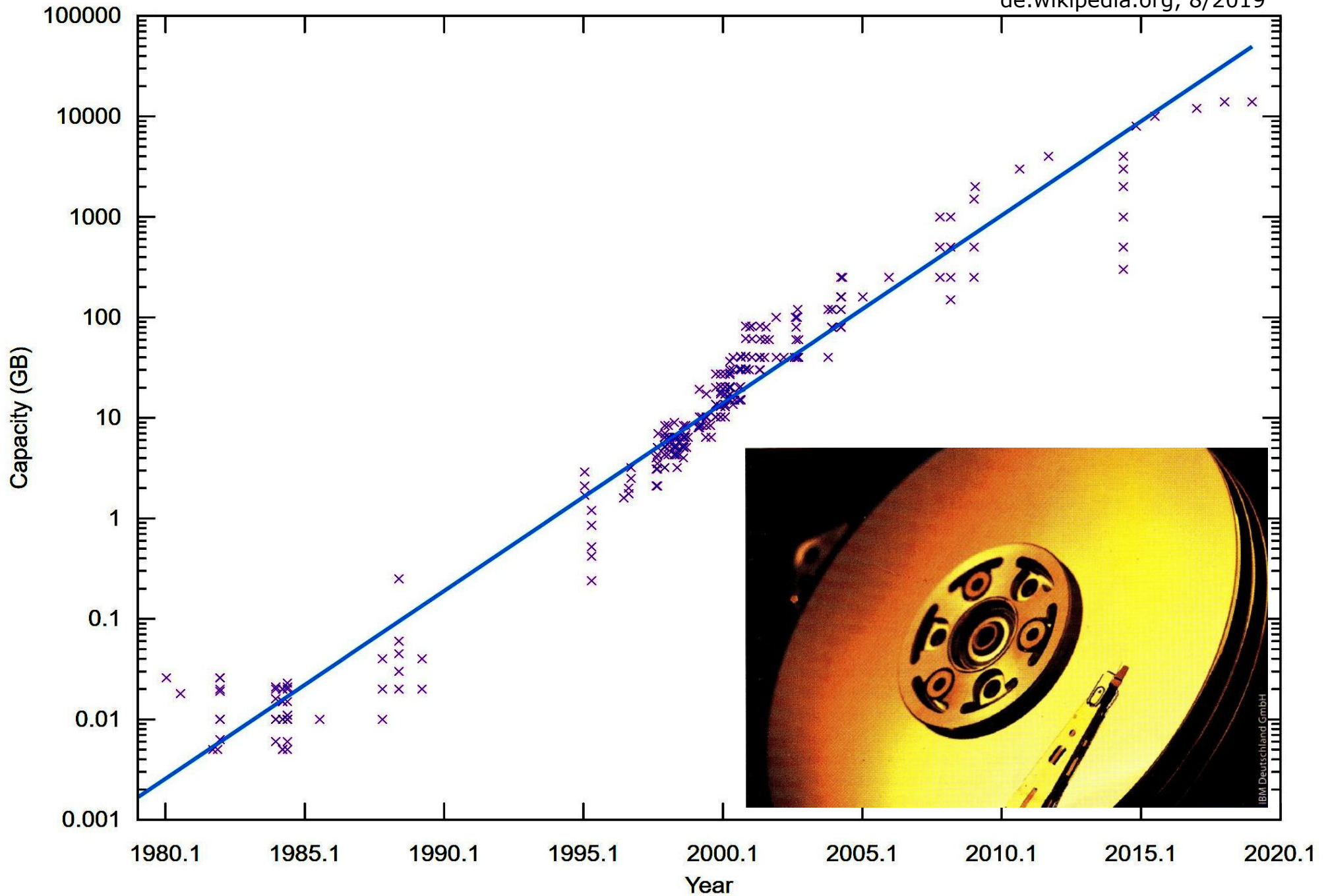
mechanical precision

*1956* 2000 bit/in<sup>2</sup>      *2015* 1.34 Tbit/in<sup>2</sup> (factor > 600 million)

"feasible" scale > 5 Tbit/in<sup>2</sup> (heat-assisted and microwave-assisted magnetic recording)

# Media, Write-read heads, Mechanics, ...

de.wikipedia.org, 8/2019



# Limit: Superparamagnetism

For crystallites with 1 – 10 nm diameter:

$T < T_{C'}, T_N$ : Magnetic moment of particle as a whole can fluctuate

Néel-Arrhenius equation:

$$\tau = \tau_0 \exp\left(\frac{E}{k_B T}\right)$$

$\tau$ : reversal time

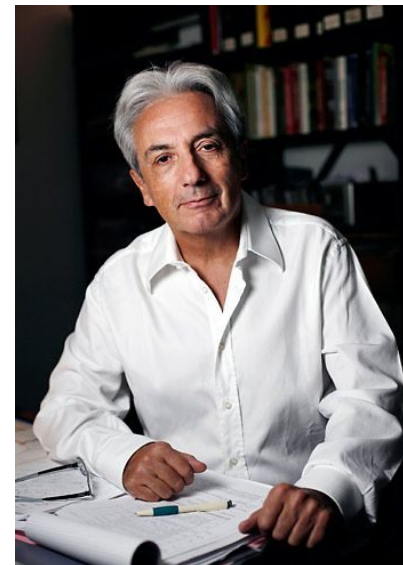
$\tau_0$ : attempt period

$E$ : magnetic anisotropy energy



Nobel Prize in Physics  
2007  
Peter Grünberg 1939-2018  
F'zentrum Jülich

Albert Fert 1938  
Université Paris-Sud  
Orsay



Physik Journal 6 (2007)

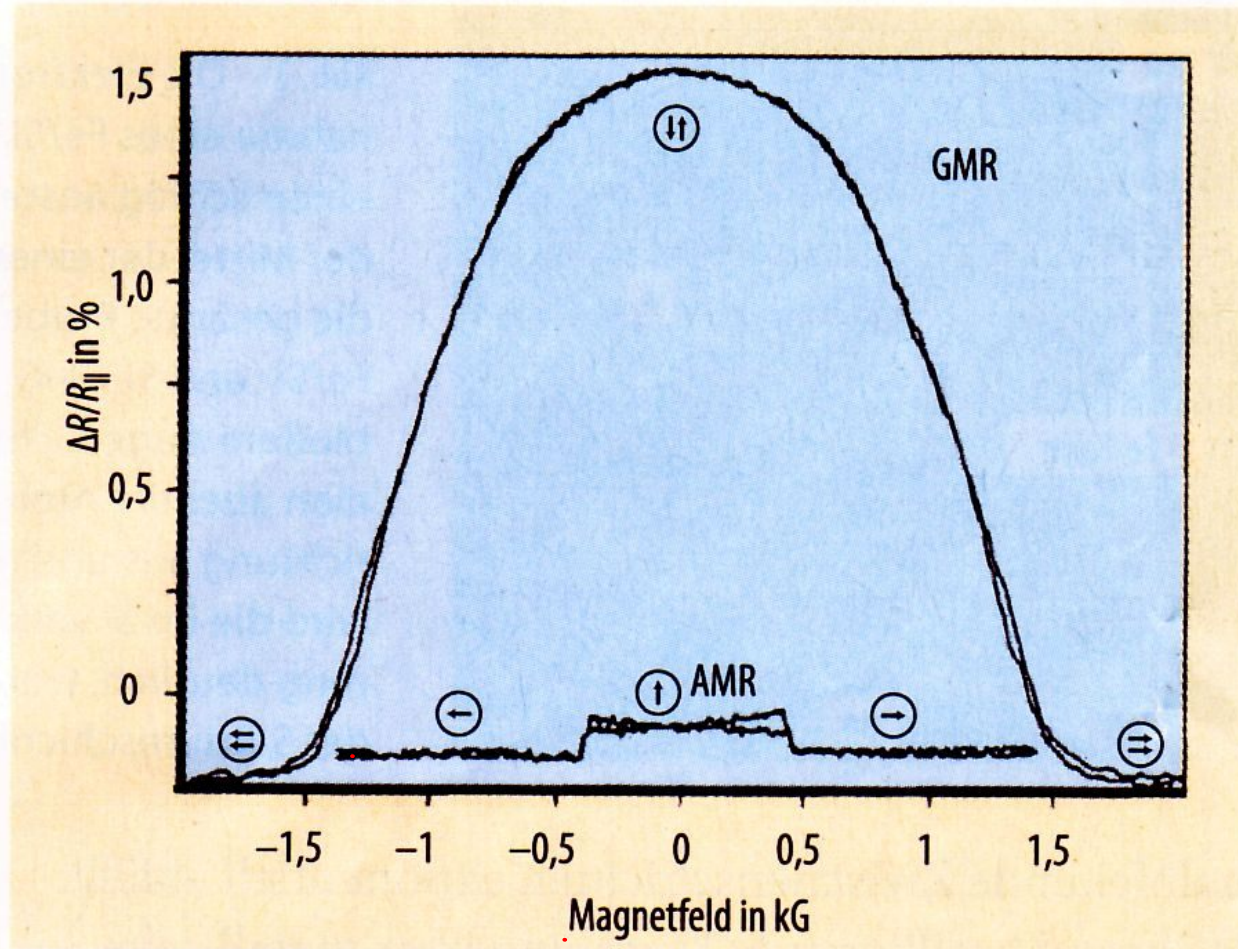
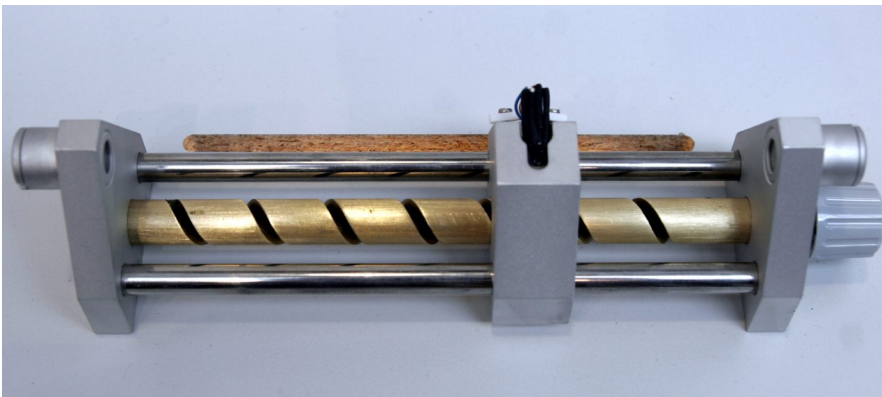
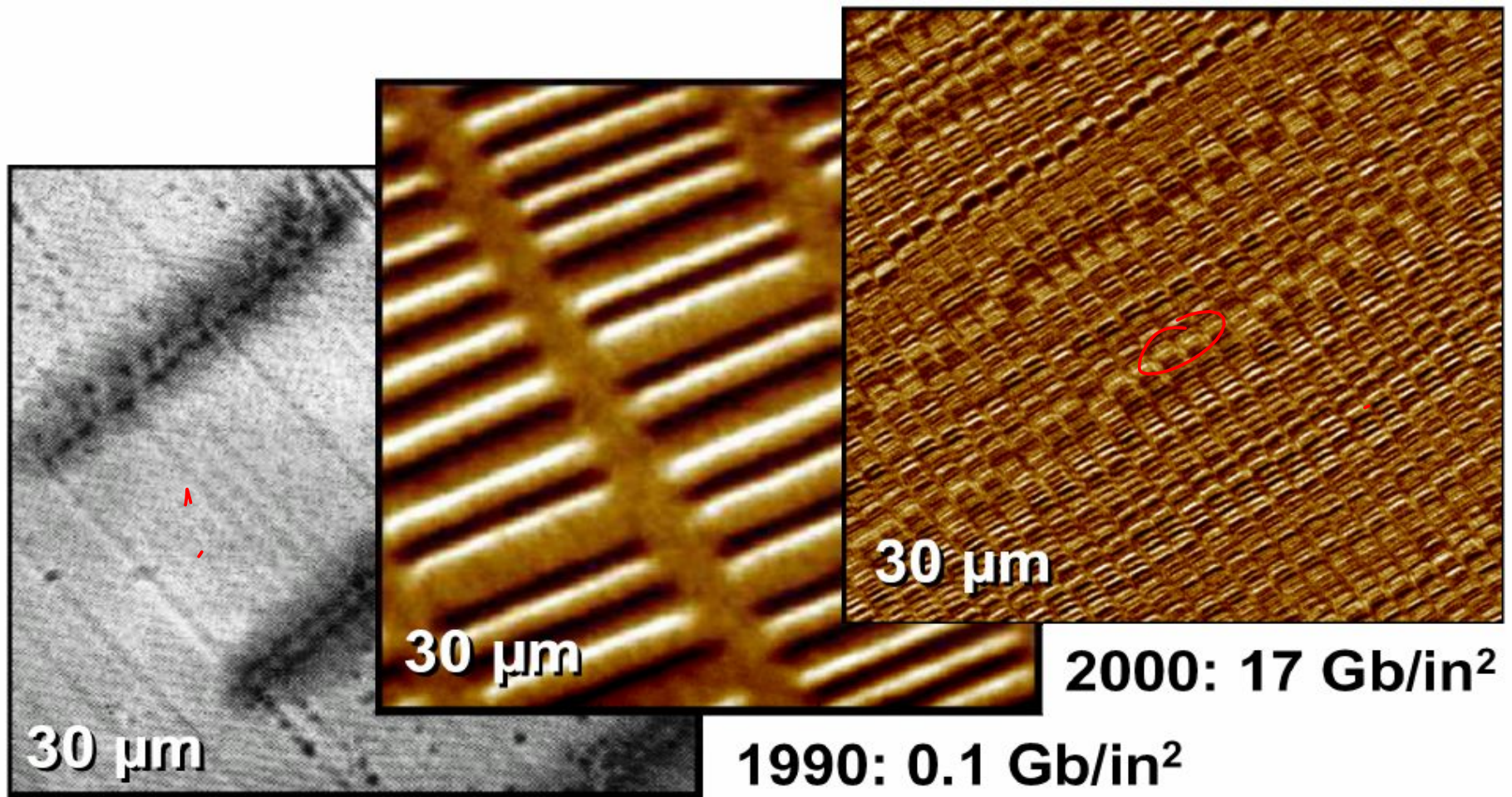


Abb. 4 Der GMR-Effekt im Dreilagensystem Fe/Cr/Fe (Schichtdicke des Eisens: 12 nm) ist im Vergleich zum AMR-Effekt eines 25 nm dicken Fe-Films deutlich ausgeprägter.





**1984: 0.04 Gb/in<sup>2</sup>**

**1990: 0.1 Gb/in<sup>2</sup>**

**2000: 17 Gb/in<sup>2</sup>**

Bits auf Festplatten  
Bildkanten jeweils 30μm

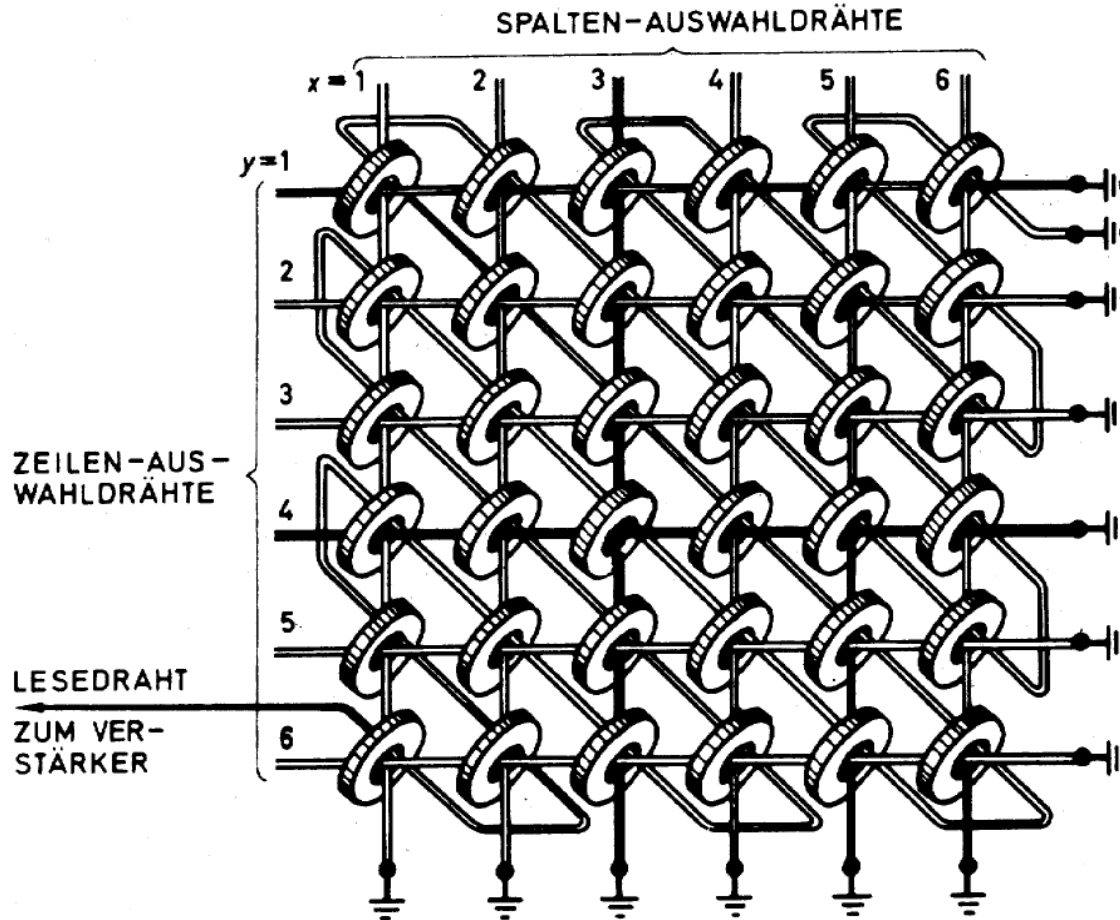
Jedes Bit = Hunderte Partikel



c't 2020, Heft 22

“Festplatten sind wohl das beste Mittel, Daten für längere Zeit zu sichern.”

# "MRAM" Ringkernspeicher



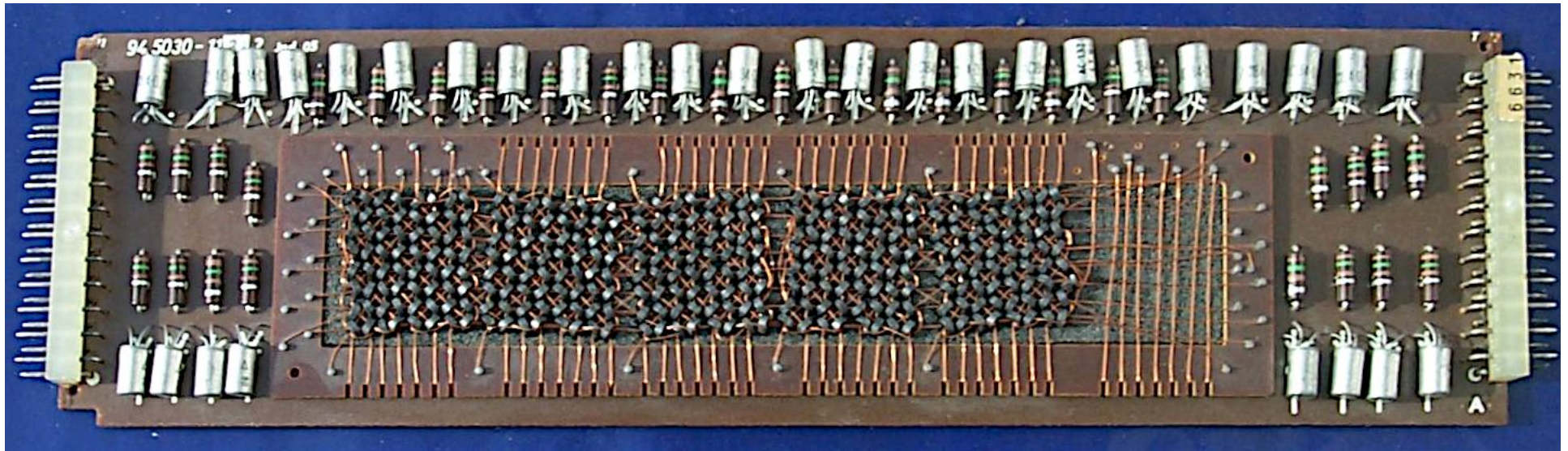
Lese- & Schreibzyklus gleichzeitig.

Lesen: mit X- & Y-Drähten gewünschten Kern zur '0' hin magnetisieren

falls zuvor '0': keine Änderung, kein Spannungspuls auf Lesedraht

falls zuvor '1': Änderung, Spannungspuls auf Lesedraht

# Kernspeicherplatine einer Olympia Rechenmaschine, ca. 1968



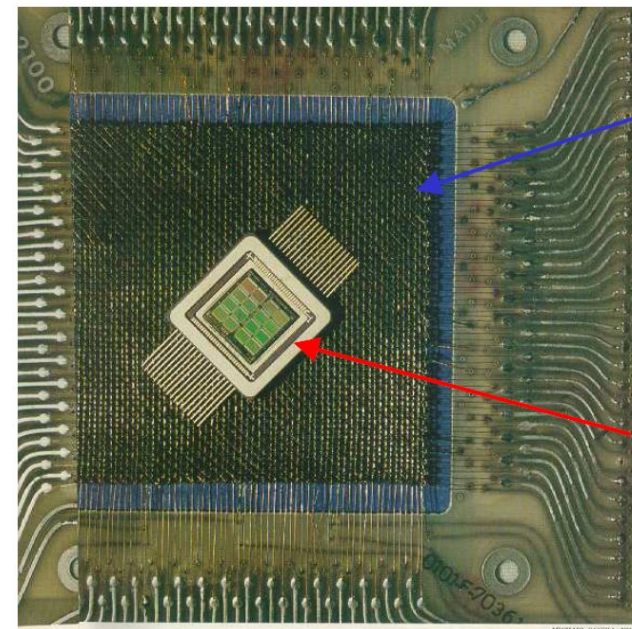
32 Bit Wort - 32 Ebenen (!)

Takt bis 3 MHz

Nicht flüchtig

core dump: (wikipedia)

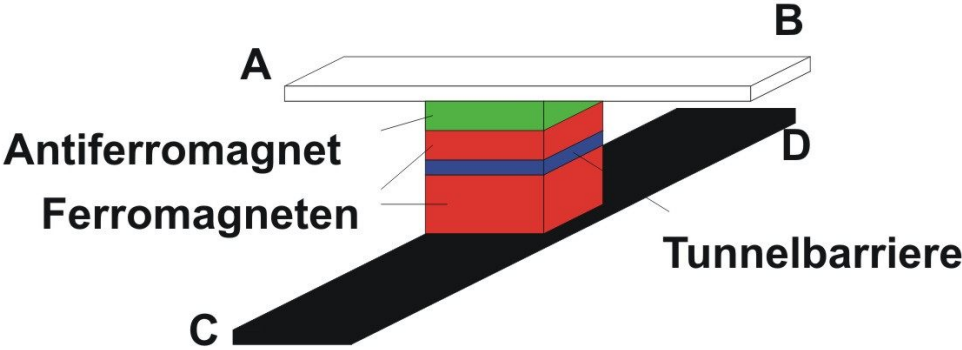
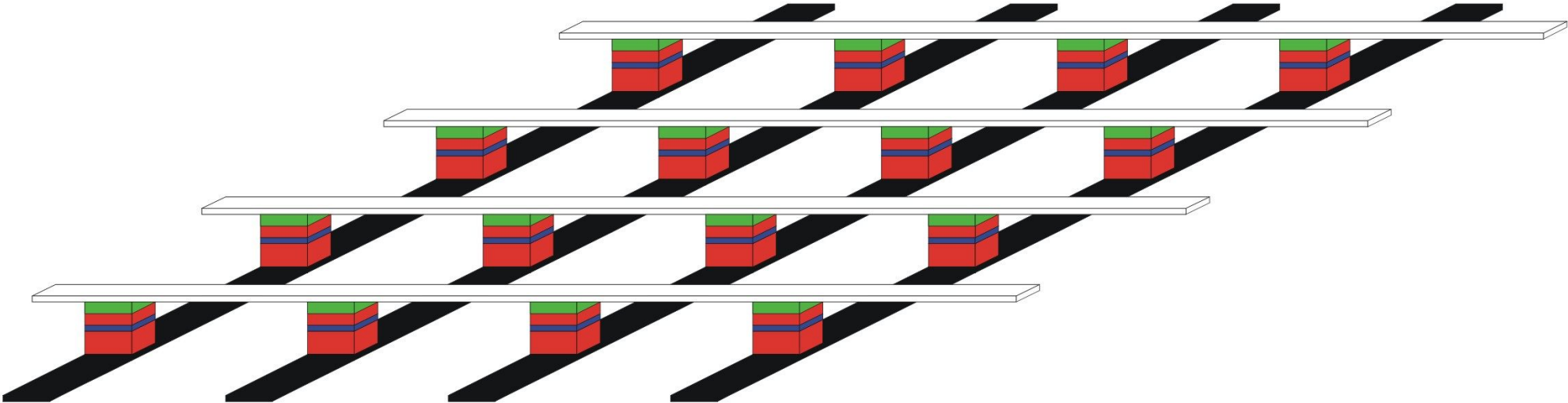
Momentaufnahme des Kernspeichers



1 kBit  
Ringkern-  
speicher

16 kBit  
Dünnschicht-  
Speicher  
(Honeywell)

# Magnetic RAM



**Lesen: Strom A->D**  
**Schreiben: Strom A->B; C->D**

## **Status (en.wikipedia, 2019)**

2010 Hitachi and Tohoku Univ announced Multi-level SPRAM

2011 PTB, Germany, announces having achieved a below 500 ps (2Gbit/s) write cycle

2012 Chandler, AZ, USA, Everspin debuts 64Mb ST-MRAM

Currently:

diverse MRAM products available from Everspin Technol., [www.everspin.com](http://www.everspin.com)

products planned by Samsung and Hynix

main applications: high reliability industry apps, aviation, spacecrafts

All of the information ... in **all the books** in the world can be written ... **in a cube of material 1/200 inch** [0.13 mm] wide.

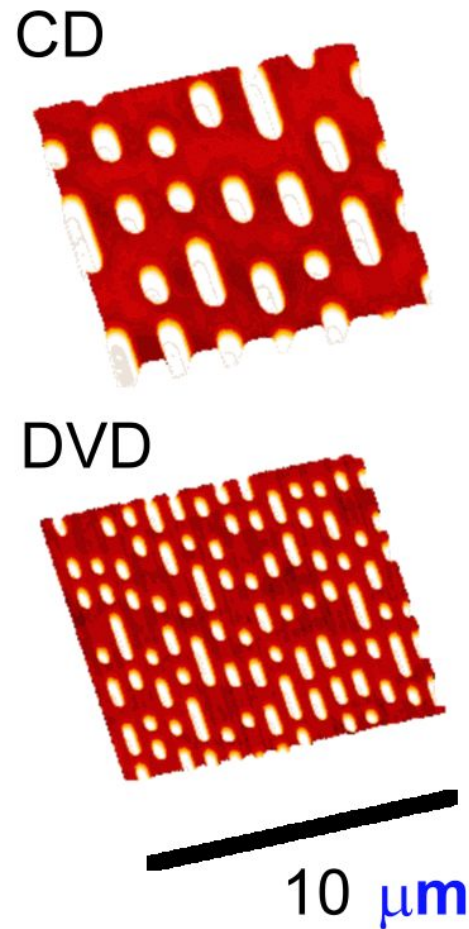
Use 125 atoms to store one bit.

R. Feynman, Caltech, December 29th, 1959

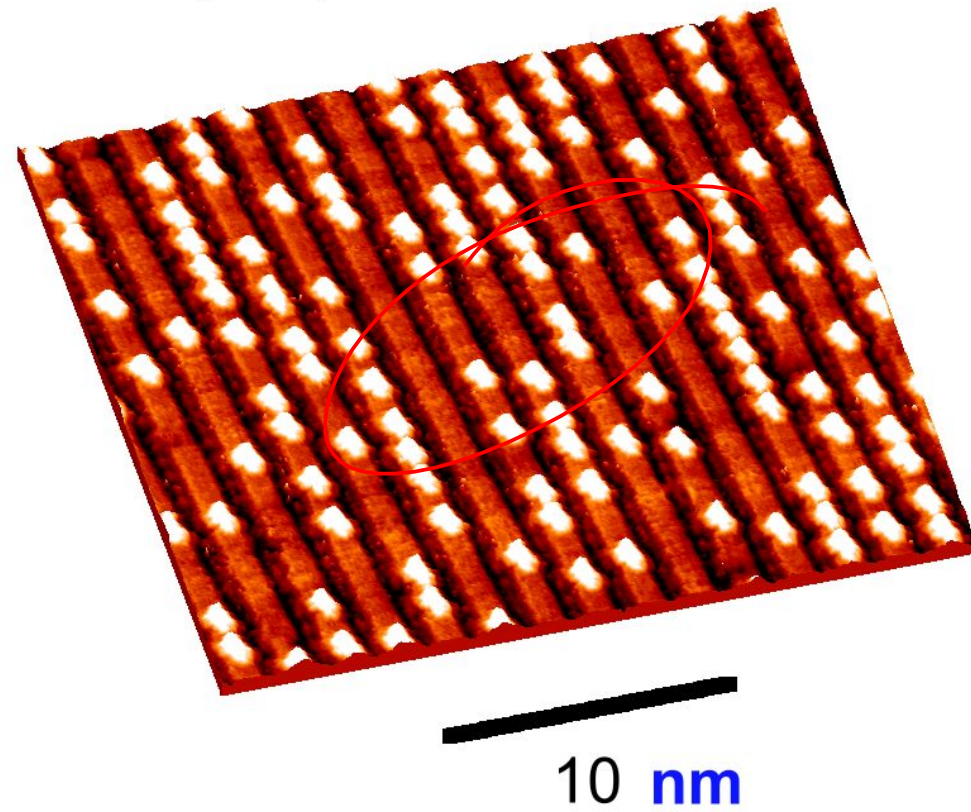


# In pursuit of the ultimate storage medium

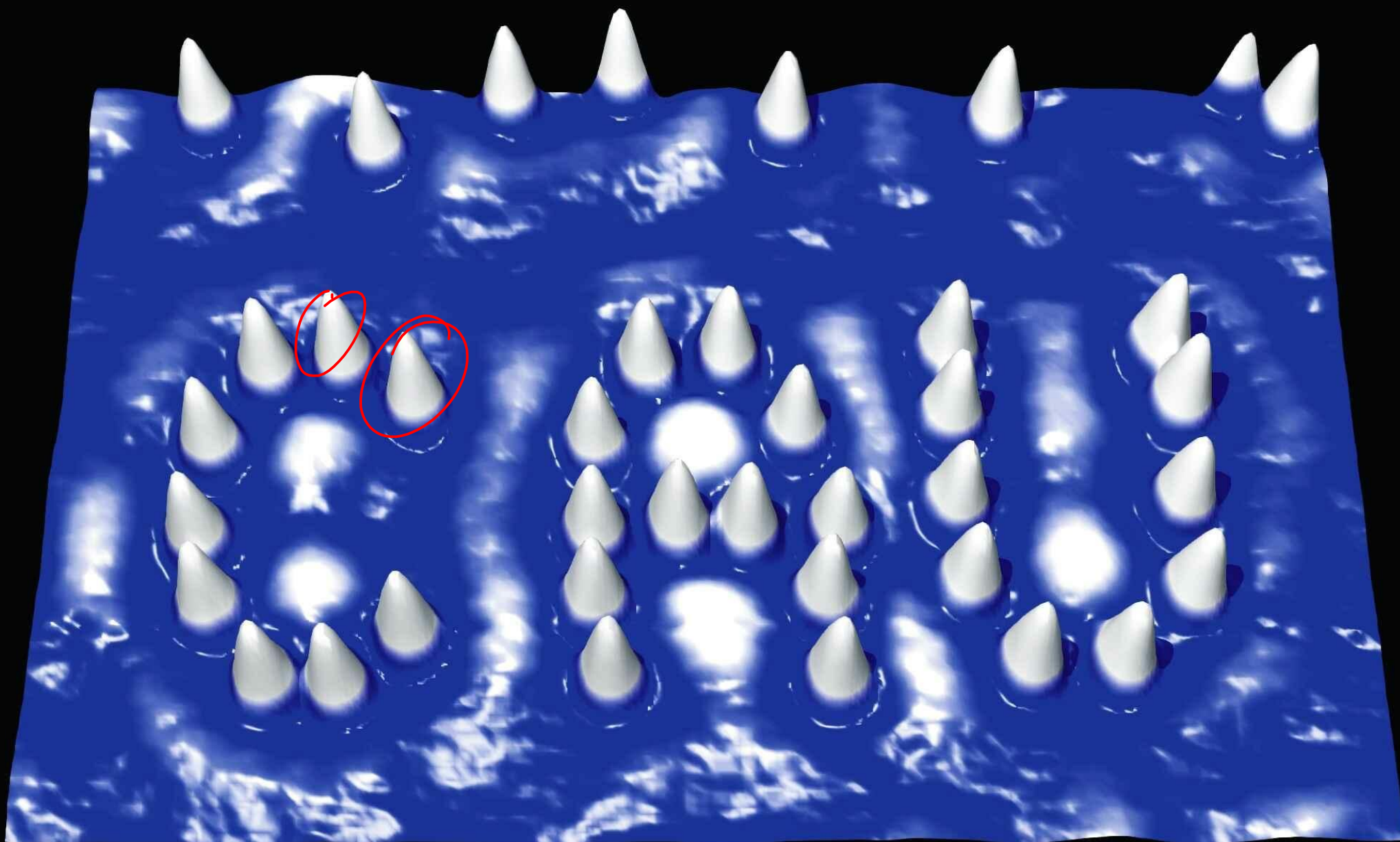
1 Atom per Bit



Si (111) - Au 5x2



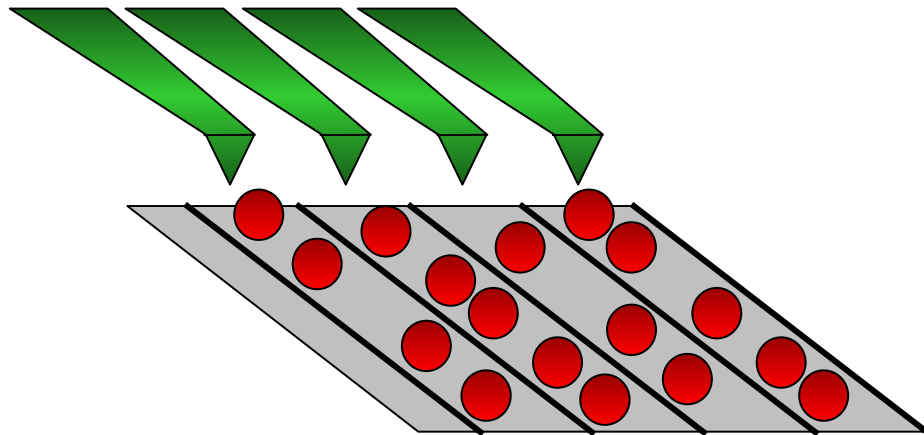
3 nm



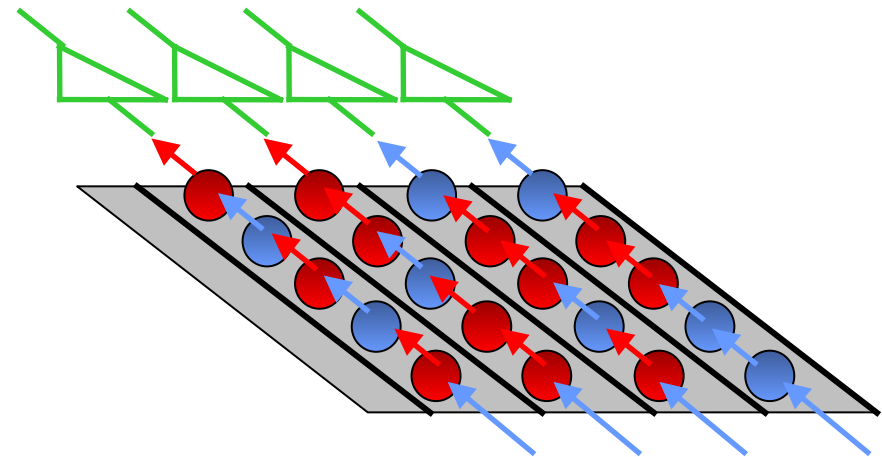
Smaller Bits  $\Rightarrow$  Less Energy Stored  $\Rightarrow$  Slower Readout

Use **Highly-Parallel** Readout

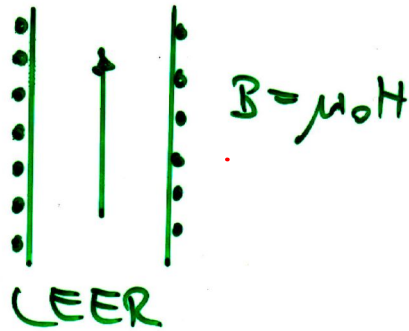
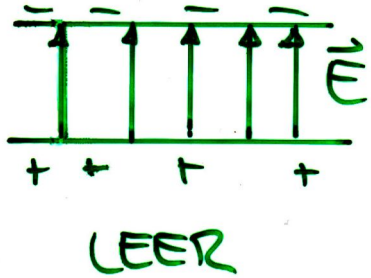
Array of Scanning Probes  
( Millipede, IBM Zürich )



Array of Shift Registers  
( nm  $\Rightarrow$   $\mu\text{m}$  )



# Gegenüberstellung: elektr. & magn. Größen

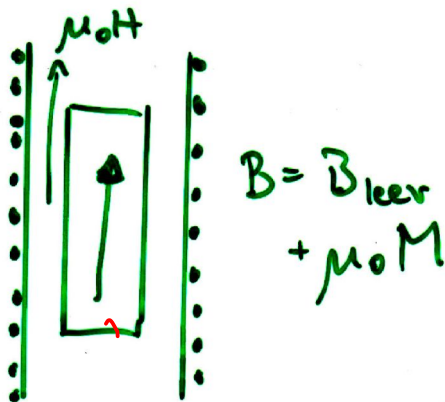
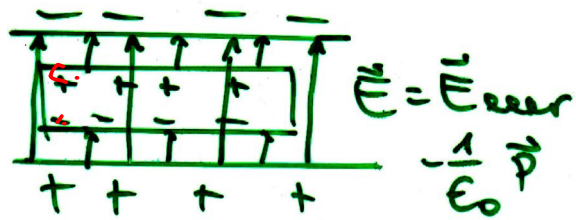


$$E \longleftrightarrow B$$

$$\epsilon_0 \longleftrightarrow \frac{1}{\mu_0}$$

$$P \longleftrightarrow -M$$

$$P = \chi_{el} E \quad \text{aber} \quad \Pi = \chi_m H$$



Suszeptibilität  $\chi$

kleine  $B$ :  $M \sim B$

~~$(M \sim B)$~~

$$M = \chi H$$

$$B = \mu_0 (H + M) = \mu_0 \mu H$$

$$\text{Permeabilität } \mu = 1 + \frac{M}{H} = 1 + \chi$$

magnet. Polarisation:

$$J_{\text{pol}} = \mu_0 M, \quad [J] = \text{T}$$

Dipol  $\vec{\mu}$

$$E = -\vec{\mu} \cdot \vec{B}$$

$$F = \nabla(\vec{\mu} \cdot \vec{B})$$

$$T = \vec{\mu} \times \vec{B}$$

$$\vec{B}(\vec{r}) = \mu_0 \left( \frac{3(\vec{\mu} \cdot \vec{r})\vec{r}}{r^5} - \frac{\vec{\mu}}{r^3} \right)$$

$$U_{\text{dipol-dipol}} = \mu_0 \left( \frac{\vec{\mu}_1 \cdot \vec{\mu}_2}{r^3} - 3 \frac{(\vec{\mu}_1 \cdot \vec{r})(\vec{\mu}_2 \cdot \vec{r})}{r^5} \right)$$

$\vec{r} = \vec{r}_1 - \vec{r}_2$

$$\vec{\mu} = I \vec{A}$$

Kreisbahn:  $\vec{\mu} = -e \frac{\omega}{2\pi} \pi r^2 \vec{n} = -\frac{1}{2} e \omega r^2 \vec{n}$

Vergl. Drehimpuls:  $\vec{j} = \vec{r} \times m_e \vec{v} = m_e \omega r^2 \vec{n}$

$$\Rightarrow \vec{\mu} = -\frac{|e| \hbar}{2m_e} \vec{j}$$

$$\mu_B = \frac{|e| \hbar}{2m_e} = 9,2740 \cdot 10^{-24} \frac{\text{J}}{\text{T}}$$

$$\approx 58 \frac{\text{meV}}{\text{T}} \quad \left| \quad \frac{k_B T \text{ bei } 300\text{K}}{40} \text{ eV} = 25 \text{meV} \right.$$

magn. Moment des  $e^-$

$$\text{Bahn: } \vec{\mu}_e = -\frac{e}{2m_e} \vec{L}$$

$$\text{Spin: } \vec{\mu}_s = -g_s \frac{e}{2m_e} \vec{S}$$

$\underbrace{\hspace{10em}}$   
gyromagn. Verhältnis

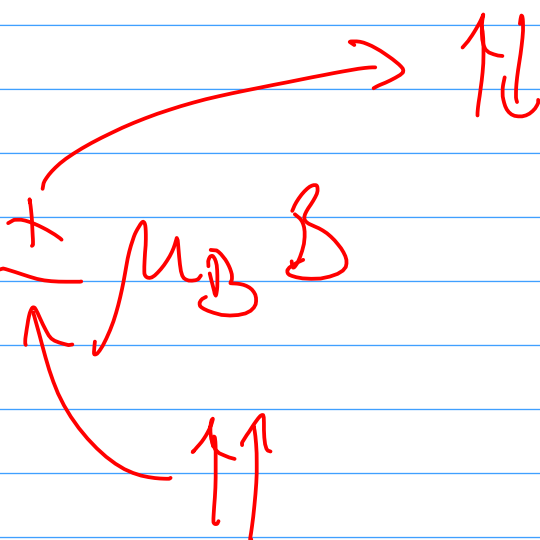
$$\vec{\mu}_j = \vec{\mu}_e + \vec{\mu}_s = -\frac{e}{2m_e} (\vec{L} + g_s \vec{S}) \stackrel{!}{=} -\frac{e}{2m_e} g_j \vec{J}$$

$$\Rightarrow g_j = 1 + \frac{j(j+1) + s(s+1) - l(l+1)}{2j(j+1)}$$



Spezialfall:  $l=0, s=\frac{1}{2} \Rightarrow j=\frac{1}{2}$

$$m_j = \pm 1 \quad i g = 2$$

$$E = -\vec{\mu} \cdot \vec{B} = \pm \mu_B B$$


The diagram shows two arrows originating from the plus and minus signs in the equation. One arrow points from the plus sign to the symbol  $\uparrow$  (representing the spin-up state), and another arrow points from the minus sign to two upward-pointing arrows  $\uparrow\uparrow$  (representing the spin-down state).

# Aufspaltungen atomarer Niveaus

① Zentralfeld (Kern  $\rightarrow e^-$ , Zentralanteil von  $e^- - e^-$ )  
 $\rightarrow$  Grobstruktur "Konfigurationen"  
 $n, l$ ; typischer (Schale  $\hat{=}$  fester  $n$ )  
 $k, l, m$

② nicht-zentrale  
Anteile von  $e^- - e^- - WW$   
 $n, l, s$  "Terme"

typ.  $\approx 0,4 \text{ eV}$

Entartung:  $(2L+1)(2S+1)$

③ Spin-Bahn-WW  
"Feinstruktur"  
Niveaus: festen  $n, L, S, J$   
Abstand  $10^{-4} \dots 10^{-1}$  eV  
Entartung  $2J+1$

④ Ext. B-Feld: Zeeman effekt  
 $\rightarrow J_z$ -Entartung aufgehoben  
für  $B=5T$ :  $10^{-4}$  eV

⑤ WW Kernspin-Hülle: Hyperfeinstruktur  
 $10^{-7} \dots 10^{-4}$  eV